

# 四磷酸钕锂晶体荧光弱猝灭现象的研究\*

吴光照 张秀荣

(中国科学院上海光学精密机械研究所)

五磷酸钕(Nd PP)的荧光弱猝灭现象已经研究得很详细了<sup>[1-3]</sup>。对于四磷酸钕锂(LNP)晶体,至今尚缺乏这方面的研究。LNP的猝灭机制并不十分清楚。本文通过实验与分析指出,LNP的猝灭机制是 ${}^4F_{3/2} \rightarrow {}^4I_{15/2}$ 和 ${}^4I_{9/2} \rightarrow {}^4I_{15/2}$ 的交叉弛豫,并有频率约 $200\text{ cm}^{-1}$ 的声子参与。

## 一、 实验

四磷酸钕锂分子式为 $\text{LiNdP}_4\text{O}_{12}$ ,简写为LNP。为了观察钕荧光的浓度猝灭和温度效应,我们用钇稀释钕,生长了各种浓度的 $\text{Li Nd}_x\text{Y}_{1-x}\text{P}_4\text{O}_{12}$ 晶体(简写LNP(Y)); $x$ 值分别是0.05, 0.1, 0.2, 0.5, 0.8和1.0。然后用自制的一台测量荧光寿命的装置,测定77K, 305K和520K下的钕离子 ${}^4F_{3/2}$ 态的荧光寿命( $\tau$ )与钕浓度( $\rho$ )的关系。猝灭率由下式计算:

$$W_q = \frac{1}{\tau} - \frac{1}{\tau_0}, \quad (1)$$

式中 $\tau_0$ 是辐射寿命或“零浓度寿命”。实验结果示于图1和图2。为了比较,图2中又画上了对YAG:Nd的测定结果以及引自文献[2]的NdPP的数据。为进一步证实图1中的温度效应,我们同时测了NdPP<sup>①</sup>,证实NdPP的荧光寿命确实不随温度变化<sup>[1]</sup>。

归结起来,LNP中钕离子 ${}^4F_{3/2}$ 态的猝灭有以下特点:

- (1) 弱激发下 ${}^4F_{3/2}$ 态的衰减是单指数式的;
- (2) 荧光猝灭率 $W_q$ 与钕浓度 $\rho$ 成正比(即

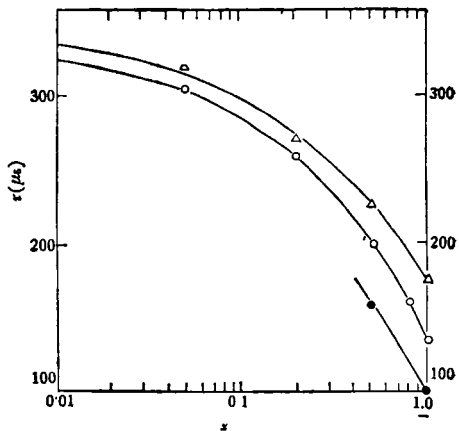


图1 荧光寿命的浓度关系和温度效应  
(样品 LNP(Y); △为 77K, ○为 305K, ●为 520K)

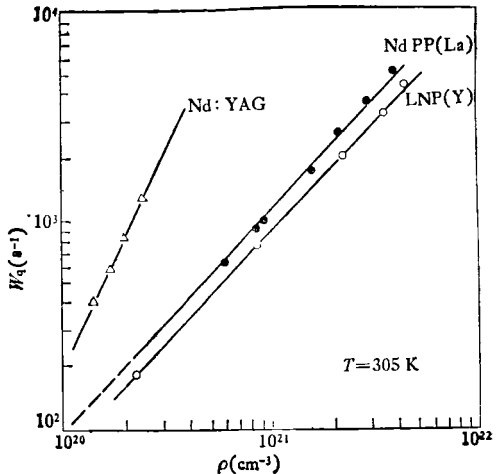


图2 猥灭率的浓度关系  
(△为 YAG:Nd,  $\tau_0 = 270 \pm 10\mu\text{s}$ ;  
●为 NdPP(La)<sup>[2]</sup>,  $\tau_0 = 310\mu\text{s}$ ;  
○为 LNP(Y),  $\tau_0 = 325 \pm 10\mu\text{s}$ )

\* 1980年7月10日收到。

① 山东大学生长的样品。

线性浓度猝灭);

(3) 相同浓度时 LNP 的猝灭率比 NdPP 的小, 这一差别在低温下更为显著;

(4) LNP 的荧光寿命随温度变化; 从 77K 到 305K 寿命下降了约  $30\mu\text{s}$  (见图 1), 这相当对猝灭率增大了  $1.5 \times 10^3/\text{s}$ , 一起做对比实验的 NdPP 的寿命则不随温度改变。

## 二、解 释

文献 [1] 和 [3] 的作者分别从马尔科夫过程和用“快扩散”模型探讨了线性浓度猝灭的理论。因此, 关于猝灭率  $W_q$  正比于  $\rho$  这一点 [上述特点之 (2)] 就不在这里详细解释了。值得注意的是第 (3) 点和第 (4) 点; 这些特点表现出 LNP 与 NdPP 的差别。我们知道, 处在  ${}^4F_{3/2}$  能级的一个钕离子除了自发发射以外, 还可能通过内部无辐射驰豫、同近钕离子的“复合驰豫”、交叉驰豫以及共振迁移这四个过程衰变。共振迁移过程不造成荧光猝灭, 因此我们把总猝灭率  $W_q$  写成

$$W_q = W_{NR} + W_b(x) + W_c(x), \quad (2)$$

其中  $W_{NR}$  为内部无辐射驰豫率,  $W_b(x)$  和  $W_c(x)$  分别为复合驰豫和交叉驰豫的速率。在我们的激发强度下,  ${}^4F_{3/2}$  能级上的粒子数不多,  $W_b(x)$  可以忽略, 所以

$$W_q = W_{NR} + W_c(x). \quad (3)$$

为了解释 LNP 荧光寿命随温度上升而下降的现象, 需要知道能级图。目前尚缺少 LNP 中钕离子的  ${}^4I_{15/2}$  能级的数据。幸好, 只要知道某些能级的大概位置就可进行有用的讨论。参考 NdPP 的能级, 我们假定 LNP  ${}^4I_{15/2}$  能级的最低和最高斯托克分量分别为  $\omega_1 \approx 5800\text{cm}^{-1}$ ,  $\omega_8 \approx 6290\text{cm}^{-1}$ 。利用这一约定和文献 [4] 所给出的 LNP 的不完整能级图来讨论 (3) 式的温度效应。(3)式的第一项可以写成

$$W_{NR} = W_{NR}(0\text{K}) \left(1 - e^{-\hbar\omega/kT}\right)^{-p}, \quad (4)$$

式中  $p$  是满足能量守恒的声子阶数。一般地说,  $p \geq 6$  的多声子过程几率很小, 不予考虑; 而  $p \leq 5$  时, 需要的声子频率  $\hbar\omega \geq 1036\text{cm}^{-1}$  (假

定  $\omega_8 \approx 6290\text{cm}^{-1}$ )。对于这样高能的声子, (4) 式表现不出可观的温度效应。

(3) 式的第二项可以写成<sup>[3]</sup>  $W_c(x) \approx x \cdot \langle W_q \rangle$ 。其中  $\langle W_q \rangle$  是产生交叉驰豫的微观相互作用参量。不同方式的相互作用带来不同的温度效应, 假如是  ${}^4F_{3/2} \rightarrow {}^4I_{13/2}$  与  ${}^4I_{9/2} \rightarrow {}^4I_{15/2}$  的交叉驰豫, 则需发射一个频率高达  $1060\text{cm}^{-1}$  的声子, 此时一声子的发射几率为

$$W_c = W_c(0\text{K}) \left(1 + \frac{1}{e^{\hbar\omega/kT} - 1}\right), \quad (5)$$

它几乎不随温度而变。

实际上观察到的温度效应只能从另一种交叉驰豫——经过  ${}^4I_{15/2}$  能级的交叉驰豫来解释。这时涉及的声子频率不高, 可以表现出明显的温度效应。我们发现吸收声子的过程不能与实验拟合, 而发射频率为近  $200\text{cm}^{-1}$  的声子的过程与实验拟合得很好。这个过程可能是

$$\begin{aligned} R_2 &\rightarrow w_{2,3} \text{ (发射一个声子, 频率 } 200\text{cm}^{-1}) \\ &\approx Z_{1,2} \rightarrow w_1; \end{aligned}$$

拟合的情形见图 3。这时得到  $W_c(0\text{K}) \approx 2.7 \times 10^3/\text{s}$ ,  $\hbar\omega = 200\text{cm}^{-1}$ 。这样, 实验温度关系就可以用  ${}^4F_{3/2} \rightarrow {}^4I_{15/2}$  与  ${}^4I_{9/2} \rightarrow {}^4I_{15/2}$  非共振交叉驰豫加以解释。

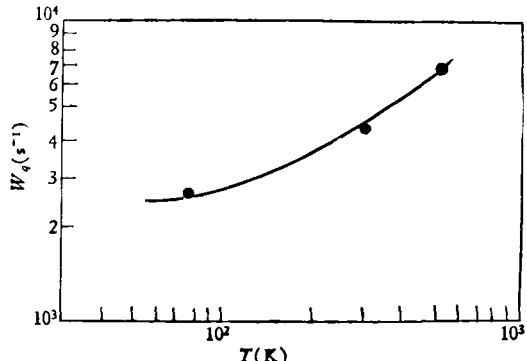


图 3 猥灭率与温度关系, LNP $\langle Y \rangle$   
(圆点为实验值; 实线为计算值)

当然,  $x$  满足玻耳兹曼分布规律, 与温度有关。但我们试过, 用  $Z_1-Z_5$  能级上粒子数温度变化不能拟合实验。

## 三、猝灭机制

通过以上分析, 我们认为, LNP 中  $\text{Nd}^{3+}$  离

子的荧光猝灭是由  $^4F_{3/2} \rightarrow ^4I_{15/2}$  和  $^4I_{9/2} \rightarrow ^4I_{15/2}$  交叉弛豫造成的, 具体地说, 乃是  $R_2 \rightarrow W_{2,3}$  (发射  $200\text{cm}^{-1}$  的声子)  $\approx Z_{1,2} \rightarrow W_1$  的声子协助的过程. 这与 NdPP 中的情况不同, 因而表现了明显的温度效应.

由于 Nd-Nd 最小间距比较大 ( $5.64 \text{ \AA}$ ), 声子协助过程较共振过程来得弱, 而且所涉及的跃迁  ${}^4F_{3/2} \rightarrow {}^4I_{15/2}$  的分支比本来就很  $\approx 0$ , 所以 Nd-Nd 偶极相互作用矩阵元很小, 使得 LNP 具有相当小的猝灭率. 当激发水平很高时, 猥灭率将随激发强度增加而增加.

时(强激发),(2)式中的 $W_b(x)$ 不能忽略,致使荧光寿命变短,猝灭特性也可能有些变更,不过那已超出本实验的范围。

本工作得到我所 LNP 晶体生长小组的支持，在此表示感谢。

## 参 考 文 献

- [1] И. А. Бондарь, К. Э., 4 (1977), 302.
  - [2] S. Singh, J. Appl. Phys., 46 (1975), 1191.
  - [3] D. Fay, Opt. Comm., 28 (1979), 117.
  - [4] 大塚建樹等, 研究実用化報告, 27 (1978), 1343.

## 液体压缩率的测量\*

#### ——水、四氯化碳的压缩曲线和相变

王积方 王汝菊 何寿安

(中国科学院物理研究所)

## 一、引言

测定液体压缩率较精确的方法是波纹管法<sup>[1,2]</sup>,但多只限于 12 kbar 范围. 超过此范围,许多液体凝固,有的甚至在更低的压力就凝固了. 在固相区使用波纹管显然是不合适的. 我们把测定固体压缩率的方法加以改进,以适应液体压缩率的测量. 采用这个方法,既适应了较大压力范围内液体压缩率的测定,还可使液体在某一压力下凝固时,测定凝固压力及凝固后的固相压缩率、固相-固相转变压力和相变体积等,方法比较简便可靠.

## 二、方 法

### 1. 测量系统

图1中1是传压圆筒，6是钢压头，12是碳化钨压头，11是碳化钨高压容器。11和12的外圆带 $3^{\circ}$ 锥角，它们的保护压力均在8kbar左右。8,9是导向钢套。液体压缩量是用百分

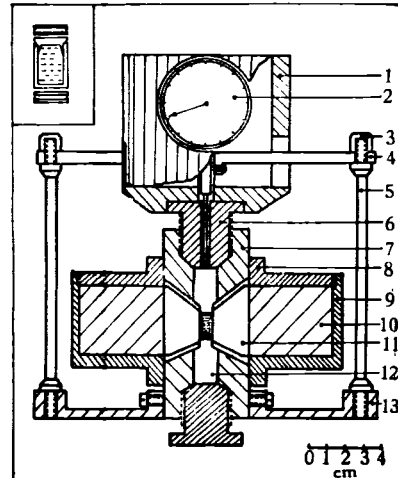


图 1 测量系统图

表 2 测量 3, 4, 5, 13 构成百分表的支架。

## 2. 液体的密封<sup>[3]</sup>

密封方式见图1左上角的放大图。液体装在聚乙烯套中。套的上端有盖，套口有 $45^{\circ}$ 斜角，伸进套内的部分做成极薄的、内侧有 $3^{\circ}$ 斜角的碗状，此结构能随着压力的上升和下降自

\* 1979年3月24日收到。